

## استفاده از طیف حاصل از اسپکتروفوتومتری در ارزیابی و طبقه‌بندی رنگ پوست

### خلاصه

طبقه بندی و شناسایی رنگ پوست افراد در بسیاری از کاربردهای تشخیصی و درمانی، هم چنین تعیین skin type ضروری است. در این تحقیق، روشی برای تعیین ویژگی‌های کمی مرتبط با رنگدانه‌های پوستی، ملانین و هموگلوبین از روی طیف‌های اندازه‌گیری شده توسط دستگاه اسپکتروفوتومتر ارائه شده است. در مرحله بعد ویژگی‌های استخراج شده با استفاده از سه طبقه‌بندی کننده مختلف، طبقه‌بندی کننده‌های نزدیکترین همسایگی، شبکه‌های عصبی و SVM، برای تفکیک رنگ پوست تیره از پوست روش طبقه بندی شدند. نتایج به دست آمده نشان می‌دهد که ویژگی‌های در نظر گرفته شده قادر به جداسازی و طبقه بندی این دو گروه از هم هستند.

**واژه‌های کلیدی:** اسپکتروفوتومتری، نوع پوست، رنگدانه‌های پوست، طبقه بندی

فاطمه نوش آبادی<sup>۱</sup>

محمدحسین میران بیگی<sup>۲</sup>

عزالدین ههاجرانی<sup>۳</sup>

پروین منصوری<sup>۴</sup>

<sup>۱</sup>دانشکده فنی و مهندسی، دانشگاه تربیت مدرس

<sup>۲</sup>دانشکده فنی و مهندسی، دانشگاه تربیت مدرس

<sup>۳</sup>پژوهشکده لیزر، دانشگاه شهید بهشتی

<sup>۴</sup>پژوهشکده پوست، دانشگاه علوم پزشکی تهران

نویسنده مسئول: فاطمه نوش آبادی، تلفن: ۰۹۱۲۲۷۷۴۵۵۰  
پست الکترونیک: fatemeh.n@gmail.com

### مقدمه

به طور معمول رنگ پوست افراد یا فوتوتایپ<sup>۱</sup> پوست به طور شهودی و توسط افراد آموزش دیده یا متخصصان پوست با بررسی میزان سوختگی یا میزان برزنه شدن پوست افراد در برابر تابش نور فرابنفش انجام می‌شود. علاوه بر تهاجمی بودن این روش، از آنجا که نتیجه به دست آمده به فرد آزمایشگر وابسته است این روش همواره با خطا همراه است. از این رو نیاز به روش غیرتهاجمی و دقیق به منظور تعیین و تمایز رنگ پوست در بین افراد مختلف احساس می‌شود [۳]. در این تحقیق روشی جدید و کمی مبتنی بر تکنیک اسپکتروفوتومتری به منظور تعیین و طبقه بندی رنگ پوست ارائه شده است.

در سال ۱۹۳۹ محققان دریافتند که اختلاف در رنگ پوست انسان‌ها عمدتاً ناشی از حضور چهار رنگدانه اصلی به نام‌های ملانین، هموگلوبین، کاروتین و بیلیروبین است [۴]. هم چنین در سال ۱۹۵۷ نشان داده شد که در بین نمونه‌های مربوط به یک نژاد، تأثیر رنگدانه‌های کاروتین و بیلیروبین در میزان پراکنده‌گی نور از سطح پوست افراد و در نتیجه رنگ پوست افراد قابل صرفنظر است. از این رو تغییر در رنگ پوست افراد یک نژاد را می‌توان به طور عمده ناشی از تغییر در میزان غلظت دو رنگدانه هموگلوبین و مخصوصاً ملانین در بین آنها دانست [۵].

از اوایل دهه ۱۹۶۰، روش‌های مختلفی به منظور ارزیابی میزان رنگدانه‌های پوست و تغییرات آنها در افراد مختلف استفاده شده

رنگ پوست انسان از مهم ترین تفاوت‌های ظاهری انسان‌ها در بین نژادهای مختلف می‌باشد و توجه بسیاری از محققان را در سال‌های اخیر به خود جلب کرده است. این ویژگی به عنوان اولین ویژگی برای طبقه بندی نژادهای مختلف و به عنوان یک ویژگی اصلی در بسیاری از سیستم‌های طبقه بندی نژاد استفاده می‌شود [۱].

آگاهی از میزان تجمع رنگدانه‌های پوستی در پوست افراد می‌تواند در تشخیص میزان خطر ابتلا به سرطان‌های پوستی به پزشکان و متخصصان پوست کمک شایانی کند. به عنوان نمونه خطر ابتلا به سرطان ملانوما<sup>۲</sup> از روی میزان پرتو دهی خورشید و خصوصیات مشهود پوست مانند رنگ پوست تعیین می‌شود. مشاهدات، نشان می‌دهند که میزان ابتلا به ملانوما در بین گروه‌های مختلف نژادی متفاوت می‌باشد به طوریکه خطر ابتلا به این بیماری در بین سفیدپوستان بیشتر از سیاه پوستان آفریقایی است. این مسئله نقش رنگ پوست را در میزان خطر ابتلا به سرطان‌های پوستی بیشتر روش می‌سازد. همچنین در بین سفیدپوستان هم میزان ابتلا به ملانوما و سایر تومورهای پوستی، متناسب با ویژگی‌های پوست، متفاوت است [۲]. اگرچه این ویژگی‌ها از لحاظ بالینی برای پژوهش قابل مشاهده است اما اندازه گیری کمی میزان تجمع رنگدانه‌ها در پوست کار بسیار دشواری است.

<sup>1</sup>. photo type

<sup>2</sup>. melanoma

رنگدانه‌های موجود در لایه‌های اپی درمیس و درمیس بستگی دارد. بهینه کردن بسیاری از این روش‌های درمانی نیازمند داشتن اطلاعات کمی از کسری از نور تابشی که به رنگدانه‌های مورد نظر می‌رسد، توانایی جذب نور توسط این رنگدانه‌ها و پاسخ‌های بیولوژیکی کوتاه مدت یا بلند مدت بافت مورد نظر به تابش می‌باشد [۱۱].

پوست انسان یک ساختار چند لایه و ناهمگن است. در یک تاخین اولیه می‌توان پوست را یک ساختار چند لایه در نظر گرفت که لایه‌های مختلف آن می‌توانند از لحاظ عملکرد و چگالی رگ‌های خونی از هم تمیز داده شوند [۱۲] اما به طور کلی می‌توان پوست انسان را به دو ناحیه مهم تقسیم کرد: اپی درمیس و درمیس. درمیس به لایه‌ی زیرین هیپوپریمیس متصل شده است [۱۳]. هنگامی که یک اشعه نورانی به سطح پوست می‌رسد، کسر کوچکی از نور تابشی (حدود ۴-۶٪) به دلیل اختلاف ضریب شکست بین هوا و سطح پوست (قشر شاخی) از سطح بافت منعکس می‌شود. بخش عمدتی از نور تابشی وارد لایه اول پوست شده و تا زمانی که توسط رنگدانه‌های پوست میرا شود یا از سطح دیگر پوست خارج شود، به مسیر غیر مستقیم خود ادامه می‌دهد [۶]. مهم ترین رنگدانه‌های پوستی ملانین، اکسی هموگلوبین و داکسی هموگلوبین هستند. طیف جذبی این رنگدانه‌ها در شکل شماره ۱ نشان داده شده است. همانطور که در شکل مشخص است، طیف جذبی اکسی هموگلوبین دارای یک ماکریم در طول موج nm ۵۵۵ و دو ماکریم در طول موج های nm ۴۱۲ و nm ۵۴۲ است. ضریب جذب اکسی هموگلوبین در ناحیه قرمز طیف (nm ۶۰۰) به شدت کاهش پیدا می‌کند. طیف جذبی داکسی هموگلوبین هم دارای دو ماکریم در طول موج های nm ۴۳۰ و nm ۵۵۵ است [۱۴]. ماکریم های محلی در طیف جذبی هموگلوبین، ناحیه طول موجی مناسب (nm ۵۸۰-۵۴۰) را برای اندازه‌گیری کمی میزان این رنگدانه در پوست فراهم می‌کنند. طیف جذبی ملانین در ناحیه مرئی به طور یکنواخت با افزایش طول موج کاهش می‌یابد. اگرچه ملانین هم مانند اکسی هموگلوبین و داکسی هموگلوبین، جذب کمی در ناحیه قرمز طیف مرئی دارد، اما در این ناحیه میزان جذب آن از سایر رنگدانه‌های پوست بیشتر است [۶].

### اندازه‌گیری به روش اسپکتروفوتومتری

تعیین غلظت مواد و ترکیبات شیمیایی از مهمترین مباحث در بسیاری از علوم از جمله پزشکی و مهندسی و شاخه‌های مختلف آنها می‌باشد. به دست آوردن غلظت به روش‌های مختلفی انجام می‌شود. در برخی از روش‌ها از تابش نور و اثری که بر روی ماده مزبور می‌گذارد، جهت محاسبه غلظت استفاده می‌شود. این اثر ممکن است جذب یا بازتابش، عبور و یا انتشار باشد. در بسیاری دیگر از روش‌ها میزان غلظت مواد با انجام آزمایشات و واکنش‌های شیمیایی و یا از

است. در این میان استفاده از روش‌هایی که از طریق اندازه‌گیری میزان تضعیف شدت نور تابشی تابیده شده به سطح پوست، قادر به اندازه‌گیری کمی رنگدانه‌های پوستی می‌باشد، اهمیت ویژه‌ای یافته‌اند. یکی از مهم ترین این روش‌ها بر اندازه‌گیری طیف انعکاسی به دست آمده از سطح پوست به روش اسپکتروفوتومتری استوار است [۶]. امروزه از اسپکتروفوتومتری به عنوان روشی متداول به منظور اندازه‌گیری میزان انعکاس نور از سطح پوست در محدوده وسیعی از طول موج استفاده می‌شود. هم چنین این روش در ارزیابی نوع پوست و رنگ آن کاربرد فراوان دارد و در سال‌های اخیر مطالعات گسترده‌ای بر روی این روش اندازه‌گیری انجام شده است. به عنوان مثال در سال ۲۰۰۴، از یک اسپکتروفوتومتر انعکاسی به منظور ارزیابی و اندازه‌گیری رنگ پوست نوزادان کره‌ای براساس محل اندازه‌گیری، طول دوران جنینی، وزن نوزاد در هنگام تولد و فصل تولد نوزاد استفاده شد [۷].

هم چنین در سال ۲۰۰۷ گروهی از محققان از اسپکتروفوتومتری انعکاسی به منظور بررسی تغییرات فصلی رنگ پوست بر روی افراد یک جمعیت استفاده کردند [۸]. در سال ۲۰۰۸ به منظور تعیین نوع پوست از طیف‌های انعکاسی به دست آمده توسط یک اسپکتروفوتومتر استفاده شد و نتایج به دست آمده با نتایج به دست آمده براساس معیار فیتزپاتریک<sup>۳</sup> مقایسه شدند و نشان داده شد که می‌توان از این روش به منظور کمک به متخصصان پوست در تشخیص دقیق‌تر نوع پوست استفاده کرد [۹].

در این تحقیق، پس از مروری بر چگونگی برهم کنش نور با بافت پوست انسان و اصول اولیه اسپکتروفوتومتری، روشی کمی و دقیق جهت شناسایی خواص اپتیکی پوست و طبقه بندی رنگ پوست با استفاده از داده‌های اندازه‌گیری شده توسط یک اسپکتروفوتومتر انعکاسی ارائه شده است.

### نتوری

#### برهم کنش نور با پوست انسان

آشنایی با برهم کنش نور با پوست انسان در بسیاری از زمینه‌ها از جمله کاربردهای کلینیکی، علوم آزمایشگاهی و دارویی حائز اهمیت است. مطالعه فرآیند انتقال نور، جذب و انتشار آن در بافت پوست انسان در تشخیص و درمان بسیاری از بیماری‌های پوستی با استفاده از تجهیزات اپتیکی مانند لیزر از اهمیت بسیاری برخوردار است [۹]. در تمامی این روش‌های تشخیصی و درمانی، پوست انسان به عنوان بخش درگیر در واکنش‌های فتوبیولوژیک شناخته می‌شود. از این روش خواص اپتیکی پوست بیشترین و مهم ترین تأثیر را در پاسخ ایجاد شده در اثر این واکنش‌ها دارد [۱۰]. درمان بسیاری از بیماری‌های پوستی به میزان جذب فوتون‌های نور تابشی به پوست توسط

<sup>۳</sup>. Fitzpatrick

## مواد و روش ها

### نمونه های تحت مطالعه

به منظور ارزیابی رنگ پوست در این تحقیق، در مجموع ۴۰ زن و مرد در محدوده سنی ۲۵ تا ۳۵ سال مورد مطالعه قرار گرفتند. پس از اطمینان از کالیبراسیون دستگاه، اندازه گیری ها از ۴ ناحیه مختلف از پوست افراد در شرایط یکسان آزمایشگاهی انجام شد. تمامی آزمایشات در آزمایشگاه فotonik مواد آلی و پلیمرها واقع در پژوهشکده لیزر دانشگاه شهری تهران انجام شد.

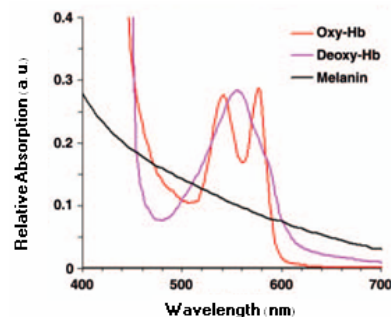
**معرفی چیدمان آزمایشگاهی جهت اندازه گیری طیف انعکاسی پوست**

#### ۱-۲-۳ اسپکتروفوتومتر USB 2000+

در این تحقیق از یک اسپکتروفوتومتر انعکاسی قابل حمل (مدل USB2000+؛ Ocean Optics Inc) متصل به یک کامپیوتر شخصی برای اندازه گیری طیف انعکاسی از سطح پوست و اندازه گیری تغییرات غلظت در رنگ پوست های مختلف استفاده شده است. این اسپکتروفوتومتر، قابلیت اندازه گیری طیف نور انعکاس یافته از سطح پوست را دارد. رزولوشن طیفی این دستگاه ۰/۳۵ nm است و از سرعت بسیار بالایی برخوردار است. محدوده آشکارسازی این اسپکتروفوتومتر ۱۱۰۰-۲۰۰ nm است. این وسیله به کاربر امکان اندازه گیری و ذخیره یک طیف کامل را در هر میلی ثانیه می دهد. این دستگاه در کاربردهای شیمیابی و بیوشیمیابی به منظور مانیتور کردن واکنش های با سرعت بالا و مشخصه سازی طیف های اندازه گیری شده از بافت های بیولوژیکی کاربرد فراوان دارد [۱۷].

همانطور که در شکل شماره ۲ مشاهده گردید، نور خروجی از منبع توسط یک رابط به پروف انعکاسی دستگاه متصل می شود. پروب انعکاسی دستگاه شامل ۶ فیبر نوری است که نور را از منبع به نمونه موردنظر می رسانند. پس از برهم کش نور با بافت موردنظر، نور منعکس شده از سطح بافت توسط یک فیبر نوری که در مدد دریافت قرار دارد جمع آوری شده و به اسپکتروفوتومتر هدایت می شود. قبل از جمع آوری اطلاعات طیفی از نمونه موردنظر توسط اسپکتروفوتومتر، سیستم با استفاده از طیف انعکاسی به دست آمده از یک مرجع استاندارد نرم افزاری می شود [۱۸].

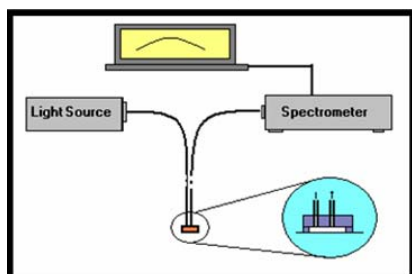
در تمام اندازه گیری ها از یک منبع نور تنگستن- هالوژن به منظور تولید نور در ناحیه مرئی (۴۵۰-۷۰۰ nm) استفاده شد. همچنین از طیف انعکاسی یک سرامیک سفید رنگ به عنوان طیف استاندارد استفاده شد. میزان انعکاس از سطح این سرامیک در تمام طول موج ها ۱۰۰٪ در نظر گرفته شد. پس از تنظیم طیف انعکاسی مرجع در هر اندازه گیری، پروف فیبر نوری در تماس با سطح پوست ناحیه موردنظر قرار گرفت و طیف انعکاسی از آن ناحیه با رزولوشن موردنظر و زمان اکتساب ۱ ثانیه توسط اسپکتروفوتومتر اندازه گیری شد.



شکل ۱- طیف جذبی رنگدانه های اصلی پوست: اکسی هموگلوبین، داکسی هموگلوبین و ملانین [۶]

روش های پیچیده تر مانند تشدید مغناطیسی به طور مستقیم محاسبه می شود. در حال حاضر روش های موسوم به فتوتمتری که بر اساس اندازه گیری طیف جذبی ماده بنا نهاده شده اند، به دلیل تنوع، دقت و سادگی از کلیه روش های ذکر شده بیشتر مورد استفاده قرار می گیرند اسپکتروفوتومتری یکی از روش های مبتنی بر فتوتمتری می باشد که در آن طیف جذبی یا انعکاسی مواد در بازه ای از طول موج، اندازه گیری می شود. اسپکتروفوتومتری بر این واقعیت استوار است که مواد به کار رفته در کاربردهای بالینی و درمانی، انرژی الکترومغناطیسی را در طول موج های مختلف جذب می کنند یا از خود عبور می دهند [۱۵].

امروزه دقیق ترین روش برای اندازه گیری غلظت رنگدانه های پوستی، درنظر گرفتن طیف جذبی آنها و چگونگی شرکت آنها در طیف جذبی پوست است. برای این منظور از یک اسپکتروفوتومتر انعکاسی استفاده می شود. در این روش، نور تابشی پس از برخورد به سطح پوست، توسط فیبر نوری جمع آوری شده و سپس توسط اسپکتروفوتومتر، تحلیل و بررسی می شود. بلوك دیاگرام یک سیستم همانطور که در شکل شماره ۲ آورده شده است، طول موج مرئی با استفاده از یک کلاف دو شاخه ای منحصر بفرد جمع آوری می شود. یکی از بازو های این کلاف به منبع نوری متصل است که انرژی لازم جهت آنالیز نمونه را فراهم می کند. بازوی دیگر، نور منعکس شده را جمع آوری کرده و به سمت اسپکتروفوتومتر هدایت می کند. این فیبرها در یک انتهای هم پیوسته اند و در تماس با ناحیه پوستی تحت مطالعه قرار داده می شوند [۱۶].



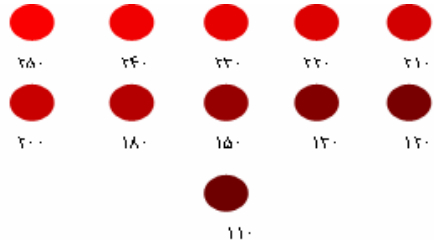
شکل ۲- بلوك دیاگرام یک سیستم اسپکتروفوتومتر انعکاسی

هرچه میزان عددی که این دستگاه نشان می‌دهد بزرگتر باشد، میزان ملاتین موجود در نمونه مورد مطالعه بیشتر و در نتیجه رنگ پوست تیره‌تر خواهد بود [۱۹].

### اندازه‌گیری‌ها

#### ۱-۳-۱- تست کالیبراسیون دستگاه:

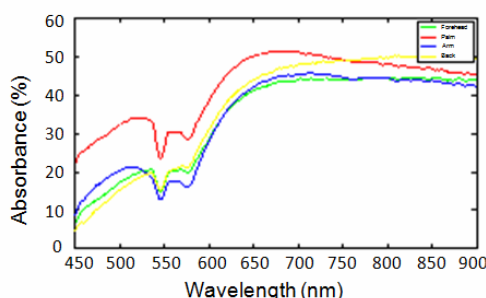
در مرحله اول از آزمایشات، ابتدا به منظور بررسی صحت دستگاه، طیف انعکاسی حاصل از رنگ قرمز با شدت‌های مختلف توسط اسپکتروفوتومتر اندازه‌گیری شد. نمونه‌های رنگ قرمز با شدت‌های متفاوت توسط نرم‌افزار word ایجاد شدند. این نمونه‌های رنگی در شکل شماره ۵ آورده شده‌اند. نتایج حاصل از اندازه‌گیری طیف انعکاسی این نمونه‌های رنگی توسط دستگاه اسپکتروفوتومتر موجود در بخش نتایج آورده شده است.



شکل ۵- نمونه های رنگ قرمز با شدت های متفاوت به منظور کالیبراسیون

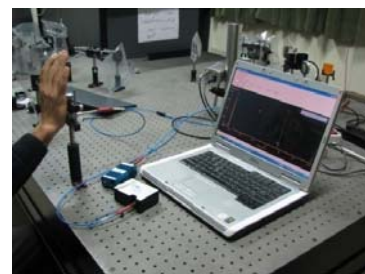
#### ۲-۳-۲- اندازه‌گیری از پوست سالم /فراد:

پس از اطمینان از کالیبراسیون دستگاه، به منظور مطالعه و ارزیابی ویژگی‌های اپتیکی پوست انسان به خصوص طبقه بندی و مقایسه رنگ پوست افراد مختلف، طیف انعکاسی از ۴ ناحیه مختلف از پوست بدن افراد شامل پیشانی، ناحیه داخلی ساعد، کف دست و پشت دست در شرایط یکسان آزمایشگاهی اندازه‌گیری شد. همانطور که اشاره شد به منظور کاهش اثرات نویز محیط از هر ناحیه، ۳ بار اندازه‌گیری انجام شد. نمونه‌ای از طیف‌های انعکاسی اندازه‌گیری شده از پوست سالم یک زن ۲۵ ساله در نواحی مختلف از بدن او در شکل شماره ۶ نشان داده شده است.



شکل ۶- طیف انعکاسی اندازه‌گیری شده توسط اسپکتروفوتومتر USB2000+ از یک نمونه زن ۲۵ ساله

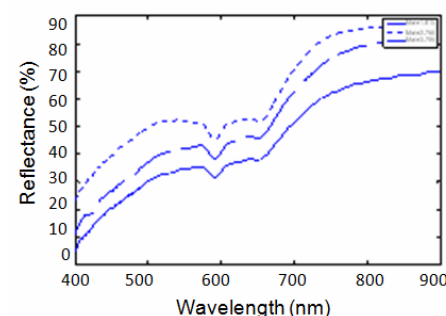
اندازه‌گیری‌های اولیه نشان دادند که تغییر زاویه فیبر نوری با سطح مورد نظر و هم‌چنین تغییر وضعیت فیبر نوری در طول فیبر، دامنه طیف‌های اندازه‌گیری شده را تغییر می‌دهد و این مسئله باعث عدم تکرار پذیری آزمایشات انجام شده می‌شود. از این رو به منظور اطمینان از تکرارپذیری اندازه‌گیری‌ها در دفعات مختلف اندازه‌گیری، مطابق شکل شماره ۳، از یک چیدمان آزمایشگاهی برای ثابت نگه داشتن زاویه فیبر نوری با سطح موردنظر و هم‌چنین ثابت نگه داشتن وضعیت فیبر در طول آزمایش استفاده شد. با استفاده از این چیدمان، زاویه فیبر نوری با سطح موردنظر کاهش اثرات نویز محیطی بر ثابت نگه داشته شد. همچنانی به منظور کاهش اثرات نویز محیطی بر روی طیف‌های اندازه‌گیری شده، از هر ناحیه ۳ بار عمل طیف‌گیری انجام شد و میانگین طیف‌های حاصل به عنوان طیف انعکاسی اندازه‌گیری شده از ناحیه موردنظر در نظر گرفته شد [۱۳]. نمونه‌ای از طیف انعکاسی اندازه‌گیری شده از ناحیه پیشانی در شکل شماره ۴ آورده شده است.



شکل ۳- چیدمان آزمایشگاهی مورد استفاده جهت ثابت نگه داشتن زاویه فیبر نوری

#### ۲-۲-۳- کروموموتست:

به منظور داشتن معیاری شهودی در کنار اندازه‌گیری‌های کمی به دست آمده توسط اسپکتروفوتومتر، از یک دستگاه کروموموتست استفاده شد. کروموموتست دستگاهی است که به منظور تعیین پارامترهای مورد نیاز برای برخی از تجهیزات مورد استفاده در کاربردهای درمانی پوست استفاده می‌شود. عددی که این دستگاه نشان می‌دهد بیانگر میزان تیرگی رنگ نمونه موردنظر و در مورد پوست، بیانگر میزان ملاتین در نمونه پوستی تحت مطالعه است.



شکل ۴- ۳ نمونه از طیف‌های انعکاسی اندازه‌گیری شده از ناحیه پیشانی توسط اسپکتروفوتومتر

حسب طول موج‌های مختلف می‌باشند که نشان دهنده میزان جذب کلی پوست با در نظر گرفتن تأثیر تمامی رنگدانه‌ها در آن طول موج می‌باشد، تعبیر و تبدیل طیف‌های به دست آمده به صورت حاصل جمع پیک‌های مختلف ضروری به نظر می‌رسد. این پیک‌ها می‌توانند متعلق به مؤلفه‌های اصلی طیف و یا متعلق به مؤلفه‌های غیر اصلی طیف مانند ناخالصی‌ها، آرتیفکتها و یا نویز محیط باشند. همانطور که اشاره شد با توجه به اینکه تغییر در رنگ پوست افراد را می‌توان عمدتاً ناشی از حضور دو رنگدانه ملانین و هموگلوبین و تغییر غلظت آنها در افراد مختلف دانست، از این رو از بین این پیک‌ها تنها پیک‌های ناشی از جذب این دو رنگدانه برای کاربرد موردنظر در این تحقیق مطلوب هستند. به طور کلی مناسب‌ترین راه به منظور دستیابی به اهداف فوق برای طیف‌هایی که شامل پیک‌های مختلف هستند، دکانلوشن کردن طیف‌ها است. از این رو در این تحقیق به منظور استخراج ویژگی‌های مربوط به رنگدانه‌های ملانین و هموگلوبین از روی طیف‌های جذبی محاسبه شده، از قابلیت انطباق توابع لورنتزین موجود در نرم‌افزار ORIGIN استفاده شد. این نرم افزار به منظور تحلیل و آسالیز داده‌های گرافیکی و نمودارهای مهندسی، طراحی شده است [۲۱]. همانطور که در شکل شماره ۸ قابل مشاهده است، بر هریک از طیف‌هایی به دست آمده، منحنی‌های لورنتز مطابق معادله (۲) با پیک‌هایی منطبق بر پیک‌های موجود در طیف اصلی منطبق شدند به طوری که طیف به دست آمده ناشی از جمع آثار این ریز‌طیف‌ها بر طیف اندازه‌گیری شده اولیه منطبق است.

$$y = y_0 + \frac{2A}{\pi} \times \frac{w}{4(x - x_0)^2 + w^2} \quad (2)$$

که در رابطه بالا  $y_0$  میزان آفست،  $A$  مساحت زیر منحنی،  $x_0$  مرکز پیک و  $w$  عرض کامل پیک در نصف ارتفاع پیک است. با توجه به اینکه بیشترین جذب هموگلوبین در طول موج‌های ۵۴۶ nm، ۵۶۰ nm و ۵۷۵ nm اتفاق می‌افتد، مساحت پیک‌ها در این سه طول موج و همچنین ارتفاع آنها به عنوان ویژگی‌های مربوط به رنگدانه هموگلوبین در طیف جذبی به دست آمده از پوست سالم در نظر گرفته شدند و در ارزیابی‌های بعدی به عنوان معیارهایی از میزان حضور رنگدانه هموگلوبین در پوست مورد استفاده قرار گرفتند.

همچنین با توجه به اینکه طیف جذبی ملانین در ناحیه مرئی با افزایش طول موج کاهش می‌یابد و فاقد پیک جذبی در این ناحیه است، از مساحت زیر منحنی جذبی در کل بازه طول موجی مورد مطالعه به منظور شاخص حضور رنگدانه ملانین استفاده شد. این مساحت با استفاده از قانون ذوزنقه ای و طبق رابطه ۳ محاسبه شد [۲۲]:

$$A = \sum 0.5 * [(nm_x + n - nm_n) * (I_n + I_{n+x})] \quad (3)$$

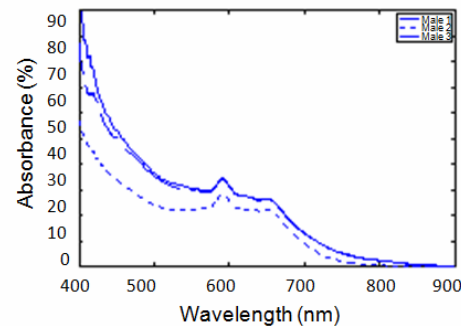
پردازش طیف‌های اندازه‌گیری شده:

تمامی طیف‌های اندازه‌گیری شده با استفاده از نرم‌افزار ORIGIN پردازش شدند. عملیات پردازشی در مرحله اول شامل میانگین‌گیری بر روی طیف‌های اندازه‌گیری شده از یک ناحیه از پوست سالم بود. همانطور که اشاره شد به منظور افزایش نسبت سیگنال به نویز، از هر منطقه ۵ بار اندازه‌گیری انجام شد و میانگین این طیف‌های اندازه‌گیری شده به عنوان طیف موردنظر در ارزیابی‌های بعدی مورد استفاده قرار گرفت.

همانطور که اشاره شد، اساس اسپکتروفوتومتری بر پایه میزان جذب مواد در طول موج‌های مختلف است و تغییر در میزان غلظت مواد، باعث تغییر در میزان جذب آنها می‌شود. از این رو در مرحله بعد به منظور ارزیابی میزان رنگدانه‌های مختلف در نمونه‌های تحت مطالعه و استخراج ویژگی‌های جذبی رنگدانه‌های مورد نظر، طیف‌های انعکاسی اندازه‌گیری شده با استفاده از رابطه زیر به طیف‌های جذبی متناظر تبدیل شدند [۲۰]:

$$A(\lambda) = -\log_{10}[(R(\lambda))] \quad (1)$$

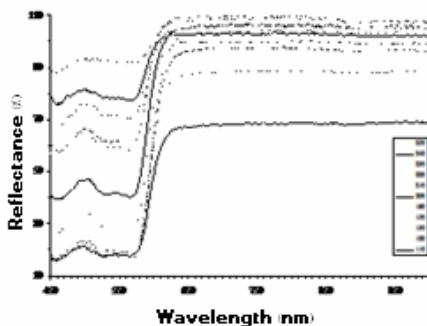
در معادله ۱،  $A$  میزان جذب و  $R$  میزان انعکاس می‌باشد. از آنجا که طیف جذبی به دست آمده به روش بالا از روی طیف انعکاسی به دست آمده است، طیف جذبی به دست آمده را طیف جذبی ظاهری می‌نامیم. برای اندازه‌گیری طیف جذبی دقیق باید میزان عبور نور تابشی به صورت *in vitro* در شکل شماره ۷ طیف جذبی متناظر با طیف‌های انعکاسی نشان داده شده در شکل شماره ۴ نشان داده شده است.



شکل ۷- طیف‌های جذبی متناظر با طیف‌های انعکاسی اندازه‌گیری شده در شکل ۴

تکنیک‌های استخراج ویژگی:

به منظور ارزیابی رنگدانه‌های پوست و تأثیر آنها بر روی رنگ پوست از روی طیف‌های جذبی به دست آمده از رابطه ۱، باید ویژگی‌های جذبی هریک از آنها به طور مجزا در طول موج‌هایی که بیشترین جذب رنگدانه در آن طول موج اتفاق می‌افتد، در نظر گرفته شود. از آنجا که طیف‌های استخراج شده به صورت آرایه‌ای از نقاط بر



شکل ۹- طیف‌های انعکاسی اندازه‌گیری شده توسط اسپکتروفوتومتر از نمونه‌های رنگ قرمز جهت کالیبراسیون دستگاه

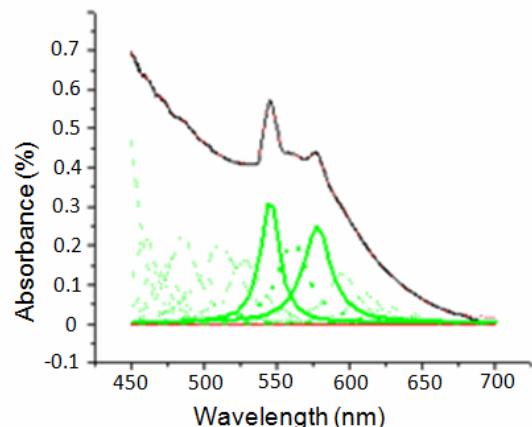
با توجه به طیف‌های به دست آمده در شکل شماره ۹، همانطور که انتظار می‌رفت از طول موج حدود ۵۷۵ nm به بالا که محدوده طول موجی مربوط به رنگ قرمز در ناحیه مرئی است، دامنه طیف انعکاسی رنگ قرمز افزایش چشمگیری داشته است. همچنانی همانطور که در شکل مشخص است، با افزایش درجه تیرگی رنگ قرمز، دامنه طیف انعکاسی اندازه‌گیری شده، کاهش یافته است.

۴-۳- نتایج کلی حاصل از اندازه‌گیری طیف انعکاسی پوست:  
همانطور که از شکل شماره ۴ مشخص است، تمامی طیف‌های انعکاسی اندازه‌گیری شده به این روش، مستقل از رنگ پوست افراد، از الگوی مشابه W مانندی پیروی می‌کنند که این الگو ناشی از حضور رنگدانه‌های پوستی مخصوصاً ملانین و هموگلوبین است. به طوری که فرورفتگی‌ها و برآمدگی‌ها در این الگوی W مانند در همان طول موج‌هایی اتفاق می‌افتد که جذب هموگلوبین در آنها بیشترین است. با استفاده از آنالیز آماری روی محل و موقعیت این مینیمم و ماکزیمم‌ها می‌توان این الگوی W مانند را تعریف کرد. در این آنالیز میانه و میانگین و همچنین انحراف معیار متناظر برای طول موج‌هایی که در آنها این الگو بیشتر اتفاق می‌افتد محاسبه شده است. در جدول شماره ۱ این مقادیر خلاصه شده‌اند.

جدول ۱- میانه، میانگین و انحراف معیار طول موج‌های مربوط به نقاط مینیمم و ماکزیمم در طیف انعکاسی پوست سالم

انحراف معیار	موقعیت مینیمه	موقعیت میانگین $\lambda$	ویژگی
۲/۵۴	۵۴۶/۴۲	۵۴۶/۵۶	مینیمم چپ
۰/۹۵	۵۵۹/۴۸	۵۵۹/۷۲	ماکزیمم
			محلي
۲/۳۴	۵۷۶/۲۶	۵۷۵/۴۵	مینیمم
			راست

در رابطه ۳، A میزان جذب، I شدت نور تابشی یا جذبی، n طول موج اولیه و X طول موج بعدی به فاصله طول موجی  $0.35 \text{ nm}$  است. پس از استخراج ویژگی‌های موردنظر از طیف‌های اندازه‌گیری شده که مربوط به ویژگی‌های مهمترین رنگدانه‌های مؤثر در رنگ پوست هستند، به منظور ارزیابی ویژگی‌های استخراج شده و بررسی توانایی آنها در تمایز بین رنگ پوست‌های افراد مختلف از سه طبقه بندی SVM کننده متداول نزدیکترین همسایگی، شبکه‌های عصبی و استفاده شد. برای این منظور براساس اعداد خوانده شده توسط دستگاه کروموموتست، افراد مورد مطالعه به دو دسته افراد با پوست روشن‌تر و افراد با پوست تیره‌تر طبقه بندی شدند. سپس نتایج حاصل از طبقه‌بندی کننده‌های مختلف بر اساس ویژگی‌های استخراج شده با نتایج حاصل از طبقه‌بندی بر اساس اعداد قرائت شده توسط کروموموتست در ۴ ناحیه مختلف مورد مطالعه مقایسه شدند که نتایج به دست آمده در بخش بعد آورده شده است. به منظور ارزیابی نتایج طبقه‌بندی کننده‌ها از روش LOO<sup>۴</sup> استفاده شده است.



شکل ۸- طیف جذبی پوست انسان. منحنی‌های نقطه چین نتایج حاصل از تسویه نرم افزار ORIGIN با استفاده از نرم افزار Lorentzian fit هستند.

## نتایج و بحث

۴-۱- نتایج حاصل از کالیبراسیون دستگاه:  
همانطور که اشاره شد قبل از انجام آزمایشات بر روی رنگ پوست افراد با استفاده از اسپکتروفوتومتر، به منظور اطمینان از کالیبراسیون دستگاه، طیف انعکاسی حاصل از نمونه‌های رنگ قرمز با شدت‌های متفاوت اندازه‌گیری شد. طیف انعکاسی این نمونه‌های رنگی قرمز که با استفاده از نرم افزار Word ایجاد شده‌اند، در شکل شماره ۹ نشان داده شده است.

<sup>4</sup>. Leave One Out

۴-۴ - نتایج حاصل از طبقه بندی در ناحیه داخلی ساعد:  
به منظور ارزیابی و مطالعه رنگ پوست ناحیه ای از پوست که کمتر در مقابل تابش نور خورشید قرار دارد، اندازه گیری ها از ناحیه داخلی ساعد انجام شد. اندازه گیری ها همانند آنچه در مورد ناحیه پیشانی توضیح داده شد انجام گرفت. نتایج حاصل از طبقه بندی به سه روش در جدول شماره ۳ آمده است.

جدول ۳- نتایج حاصل از طبقه بندی کننده ها برای طبقه بندی رنگ پوست در ناحیه داخلی ساعد

	Accuracy	Sensitivity for White Skin	Specificity for White Skin
KNN Classifier	%۸۹	%۸۷	%۹۳
Neural Network Classifier	%۸۹	%۹۷	%۸۰
SVM Classifier	%۹۷	%۱۰۰	%۹۳

#### ۴-۵ - نتایج حاصل از طبقه بندی در ناحیه کف دست:

در این تحقیق طیف های به دست آمده از ناحیه کف دست به عنوان یک دیگر از نواحی که بیشتر در معرض نور خورشید قرار دارد مطابق آنچه در بخش های قبل توضیح داده شد، مورد بررسی و طبقه بندی قرار گرفتند. نتایج حاصل از طبقه بندی کننده های مختلف در جدول شماره ۴ آمده است.

جدول ۴- نتایج حاصل از طبقه بندی کننده ها برای طبقه بندی رنگ پوست در ناحیه کف دست

	Accuracy	Sensitivity for White Skin	Specificity for White Skin
KNN Classifier	%۹۵	%۹۱	%۱۰۰
Neural Network Classifier	%۹۷	%۹۶	%۱۰۰
SVM Classifier	%۹۲	%۹۱	%۹۳

#### ۴-۶- نتایج حاصل از طبقه بندی در ناحیه پشت دست:

مشابه اندازه گیری های قبلی، این بار اندازه گیری از ناحیه پشت دست افراد تحت مطالعه انجام شد و ویژگی های استخراج شده مانند قبل با استفاده از سه طبقه بندی کننده متفاوت، طبقه بندی شدند. نتایج به دست آمده در جدول شماره ۵ آمده است.

با توجه به جدول شماره ۱ و همانطور که در شکل های شماره ۴ و ۶ هم قابل مشاهده است، در سه طول موج در حوالی nm ۵۴۶ و ۵۷۵ nm طیف انعکاسی پوست سالم دارای تغییرات بارزی است و از همین خصوصیت برای استخراج ویژگی های مورد نظر از طیف های اندازه گیری شده است.

همانطور که اشاره شد، انعکاس پوست در طول موج های مختلف عمده ای توسعه رنگدانه های موجود در لایه های مختلف پوست ایجاد می شود. با توجه به شکل شماره ۱، هموگلوبین موجود در رگ های خونی عامل اصلی ایجاد الگوی W مانند در طیف انعکاسی پوست است. جذب نور توسط هموگلوبین در طول موج های nm ۵۴۵ و ۵۷۵ باعث کاهش چشمگیر میزان انعکاس در طول موج های پایین تر از nm ۶۰۰ و ایجاد این الگوی W مانند می شود. همچنین در طول موج های بالاتر نیز به دلیل جذب زیاد نور توسط آب موجود در بافت پوست، دامنه طیف انعکاسی رفته رفتہ کاهش می یابد [۸].

از طرفی همانطور که در شکل شماره ۴ دیده می شود، با تیره تر شدن رنگ پوست و افزایش ملانین، دامنه طیف انعکاسی کاهش می یابد. از این ویژگی های به دست آمده می توان برای طبقه بندی رنگ پوست به دو گروه روش و تیره و تفکیک آنها براساس تغییرات غلظت رنگدانه های پوست استفاده کرد.

#### ۴-۳- نتایج حاصل از طبقه بندی در ناحیه پیشانی:

این ناحیه به عنوان ناحیه ای از بدن که بیشتر در معرض تابش نور خورشید قرار دارد مورد توجه است. اندازه گیری بر روی ۴۰ نمونه تحت مطالعه در شرایط یکسان آزمایشگاهی همانطور که توضیح داده شد، انجام شد و ویژگی های مورد نظر از طیف های انعکاسی ناحیه پیشانی، استخراج شدند. در کنار اندازه گیری طیف های انعکاسی ناحیه پیشانی، میزان ملانین در همان ناحیه هم توسط کرومومتست اندازه گیری شد. براساس اعداد قرائت شده توسط دستگاه کرومومتست نمونه ها به دو گروه نمونه های با رنگ پوست روش و نمونه های با رنگ پوست تیره تقسیم شدند. به منظور ارزیابی توانایی ویژگی های استخراج شده در تمایز بین این دو گروه، از سه طبقه بندی کننده متداول استفاده شد که نتایج حاصل از آنها در جدول شماره ۲ آمده است:

جدول ۲- نتایج حاصل از طبقه بندی کننده ها برای طبقه بندی رنگ پوست در ناحیه پیشانی

	Accuracy	Sensitivity for White Skin	Specificity for White Skin
KNN Classifier	%۸۹	%۹۲	%۸۸
Neural Network Classifier	%۹۲	%۹۲	%۹۲
SVM Classifier	%۹۲	%۹۲	%۹۲

روش پیشنهاد شده قادر به ارزیابی و طبقه بندی رنگ پوست در نواحی مختلف بدن و در بین افراد مختلف است. در این پژوهه به دلیل وجود محدودیت در انتخاب نزادهای متنوع برای افراد تحت مطالعه، تمام نمونه های مورد بررسی دارای نزاد یکسان بودند و از این رو تفاوت چندانی بین محتوای ملانین و هموگلوبین نمونه های تحت مطالعه وجود نداشت. با این حال ویژگی های استخراج شده قادر به طبقه بندی رنگ پوست آنها با دقت قابل قبولی هستند. از این رو به نظر می رسد می توان از این روش برای ارزیابی و غربالگری ویژگی های اپتیکی و رنگ پوست در بین افراد نزاده ای گوناگون به منظور ارزیابی میزان خطر ابتلا به سلطان های پوستی استفاده کرد. تشخیص و طبقه بندی رنگ پوست در بین افراد نزاده ای مختلف یکی از مباحث مهم در علوم مختلف می باشد. توانایی تفکیک رنگ پوست و بررسی تغییرات غلاظت رنگدانه های مختلف پوستی با استفاده از معیار ها و اندازه گیری های کمی می تواند در کاربردهایی مانند استفاده از skin type screening و تشخیص skin type مفید باشد. در این روش با افراد در ناحیه پیشانی در شرایط یکسان آزمایشگاهی اندازه گیری شد. سپس به منظور بررسی تغییرات غلاظت رنگدانه ها در رنگ پوست های مختلف، طیف جذبی ظاهری از روی طیف های اندازه گیری شده محاسبه شد و پس از پردازش های لازم بر روی طیف های محاسبه شده، ویژگی های طیفی مربوط به رنگدانه های ملانین و هموگلوبین از طیف های مربوطه استخراج شدند. سپس با استفاده از طبقه بندی کننده های نزدیکترین همسایگی و شبکه های عصبی، ویژگی های استخراج شده جهت طبقه بندی و تفکیک رنگ پوست در دو گروه پوست روشن و پوست تیره طبقه بندی شدند. در تمام اندازه گیری ها از یک دستگاه کروموموتست به عنوان مرجعی برای تخمین رنگ پوست استفاده شد. نتایج حاصل از طبقه بندی به هر دو روش نشان می دهد که ویژگی های استخراج شده از طیف های محاسبه شده قادر به تفکیک و طبقه بندی رنگ پوست در دو گروه تیره و روشن می باشد. با افزایش تعداد و تنوع نمونه ها در بین افراد با skin type skin type های متفاوت می توان از این روش برای اندازه گیری کمی استفاده کرد. خطاهای به دست آمده از طبقه بندی کننده ها را می توان با افزایش دقت اندازه گیری های انجام شده توسط کروموموتست و اسپکتروفوتومتر و همچنین افزایش تعداد نمونه ها کاهش داد.

جدول ۵- نتایج حاصل از طبقه بندی کننده ها برای طبقه بندی رنگ پوست در ناحیه پشت دست

	Accuracy	Sensitivity for White Skin	Specificity for White Skin
KNN Classifier	٪ ۹۷	٪ ۹۳	٪ ۱۰۰
Neural Network Classifier	٪ ۹۷	٪ ۹۳	٪ ۱۰۰
SVM Classifier	٪ ۱۰۰	٪ ۱۰۰	٪ ۱۰۰

## نتیجه گیری

همانطور که اشاره شد به منظور ارزیابی رنگ پوست و نقش رنگدانه های پوست در آن، طیف انعکاسی توسط یک اسپکتروفوتومتر انعکاسی از نواحی مختلف از پوست سالم ۴۰ فرد مختلف در شرایط یکسان آزمایشگاهی اندازه گیری شد. اندازه گیری های به دست آمده نشان دادند که طیف انعکاسی پوست انسان برای تمام نمونه ها از الگوی یکسانی پیروی می کند که این الگو ناشی از حضور رنگدانه های پوستی به خصوص ملانین و هموگلوبین است. این الگو ویژه فقط در طیف های به دست آمده از پوست انسان قبل مشاهده است. همچنین همانطور که در شکل ۴-۸ مشخص است با تیره تر شدن رنگ پوست افراد دامنه طیف انعکاسی آنها کاهش می یابد. با توجه به اینکه در تعیین رنگ پوست انسان هر دو رنگدانه ملانین و هموگلوبین نقش به سایی دارند، از ویژگی های طیفی آنها به منظور طبقه بندی رنگ پوست افراد تحت مطالعه به دو گروه پوست روشن و پوست تیره استفاده شد. مقایسه نتایج به دست آمده توسط سه طبقه بندی کننده متداول معرفی شده، با نتایج حاصل از اندازه گیری میزان تیرگی پوست با استفاده از دستگاه کروموموتست نشان می دهد که ویژگی های در نظر گرفته شده با دقت بالایی قادر به طبقه بندی رنگ پوست افراد می باشند. خطاهای مشاهده شده در طبقه بندی نمونه ها می تواند ناشی از عوامل متعددی باشد. مهم ترین عامل خطا در این روش پیوستگی رنگ پوست افراد است. به طوریکه نمی توان مرز دقیقی برای تفکیک رنگ پوست روشن از تیره در نظر گرفت. از این رو احتمال اینکه طبقه بندی کننده های مورد استفاده نمونه هایی که رنگ پوست آنها در مرز دو گروه موردنظر است را اشتباه طبقه بندی کنند بسیار زیاد است. از طرفی دقت دستگاه کروموموتست هم می تواند اعماق ایجاد کننده خطاهای برای طبقه بندی صحیح برخی از نمونه ها باشد. با این حال با بررسی نتایج به دست آمده به نظر می رسد که

## منابع

1. Kalla A.K. Human Skin Colour, Its Genetics, Variation and Adaptation: A Review. *Anthropologist Special* 2007; 3: 209-14.
2. Dwyer T, Konrad Muller H, Blizzard L, Ashbolt R. The Use of Spectrophotometry to Estimate Melanin Density in Caucasians. *Cancer Epidemiology* 1998; 7: 203-6.
3. Pershing K, Tirumala V. P, Nelson J. L, Corlett J. L, Lin A. G, Meyer L. J, Leachman S. A. Reflectance Spectrophotometer: The Dermatologist's Sphygmomanometer for Skin Phototyping?. *Journal of Investigative Dermatology*, January 2008.
4. Edwards E. A, Duntley S. O. The Pigments and Color of Living Human Skin. *Amer. J Anat* 1939; 65: 1-33.
5. Harrison G. A, Owen J. J. T. The Application of Spectrophotometry to the Study of Skin Color Inheritance. *Acta Genet* 1957; 6: 481-5.
6. Stamatas G. N, Zmudzka B. Z, Kollias N. Non-Invasive Measurements of Skin Pigmentation In Situ. *Pigment Cell Res* 2004; 17: 618-26.
7. Park J. H, Lee M. H. A Study of Skin Color by Melanin Index according to Site, Gestational Age, Birth Weight and Season of Birth in Korean Neonates. *The Korean Academy of Medical Sciences* 2005; 20: 105-8.
8. Stringer M. R, Cruse-Sawyer J. E. Seasonal Skin color changes in a sample teenage population measured by reflection Spectrophotometry. *Journal of IOP Physics education* 2007; 42(6): 585-891.
9. Krishnaswamy A, Baranoski G. V. G. A Study on Skin Optics. Technical Report CS- 2004-01, January 2004.
10. Rox Anderson R, John A. Parrish. The Optics of Human Skin. *The Journal of Investigative Dermatology* 1981; 77(1): 13-9.
11. Van Gemert M. J. C, Jacques S. L, Sterenborg H. J. C. M, Star W. M. Skin Optics. *IEEE Transactions on Biomedical Engineering* 1989; 36(12): 114-54.
12. Hulsbusch M, Holscher D, Blazek V. Spectral Monte-Carlo Simulations of Photon Penetration in Biotissue in Visible and Near Infrared. *Progress in Electromagnetics Research Symposium*, Prague, Czech Republic, August 2007.
13. Angelopoulou E. Understanding the Color of Human Skin. *Proceedings of the SPIE Conference on Human Vision and Electronic Imaging VI (SPIE)* 2001; 4299: 243-51.
14. Stamatas G. N, Kollias N. Blood stasis contributions to the perception of skin pigmentation. *J Biomed Opt* 2003; 9: 315-22.
15. Webster John G. *Medical Instrumentation; Application and Design*. 2<sup>nd</sup> edition 1995.
16. Wallace V. P, Crawford D. C, Mortimer P. S. Spectrophotometric assessment of pigmented skin lesions: methods and feature selection for evaluation of diagnostic performance. *Phys. Med. Biol* 2000; 45: 735-51.
17. [www.oceanoptics.com/Products/usb2000+.asp](http://www.oceanoptics.com/Products/usb2000+.asp)
18. Kumar S. A, Bhadri P. R, Beyette F. R, Clarck J. F, Wurster W. Non-Invasive Biomedical System for the Quantification of Bilirubin in Neonates. *Circuits and Systems, 48th Midwest Symposium on Volume, Issue 2005*; 2: 1778-81.
19. [www.euphotonics.com](http://www.euphotonics.com)
20. Stamatas G. N, Zmudzka B. Z, Kollias N. Non-Invasive Measurements of Skin Pigmentation In Situ. *Pigment Cell Res* 2004; 17: 618-26.
21. Karu T. I, Afanasyeva N. I, Kolyakov S. F, Pyatibrat L. V, Welser L. Changes in Absorbance of Monolayer of Living Cells Induced by Laser Radiation at 633, 670, and 820 nm. *IEEE Journal on selected topics in quantum electronics* 2001; 7(6): 982-8.
22. Pershing L. K, Tirumala V. P, Nelson J. L. Reflectance Spectrophotometer: The Dermatologists' Sphygmomanometer for Skin Phototyping. *Journal of investigative Dermatology*, 2008.